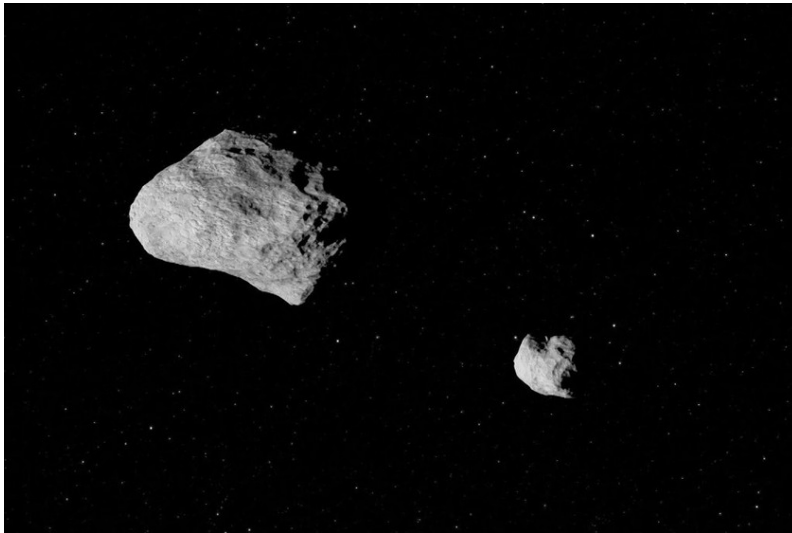


# Dvojni i višestruki asteroidi



- Dvojni (višestruki) asteroidi predstavljaju gravitaciono vezane objekte
- Ovi objekti kreću se oko zajedničkog centra mase, a kao sistem kreću se oko Sunca (analogno planetama i njihovim satelitima)

# Statistika dvojnih i višestrukih asteroida

Grupa	# poznatih objekata	# dvojnih asteroida
Asteroidi bliski Zemlji	~ 33 000	97
Mars kroseri	~ 25 000	32
Glavni asteroidni pojас	~ 1 160 000	248
Jupiterovi trojanci	~ 12 700	7

# Formiranje dvojnih i višestrukih asteroida

- Od materijala izbačenog usled brze rotacije (rotaciona fisija)
- Od materijala nastalog raspadom usled plimskih sila (bliski prilazi sa planetama)
- Od materijala izbačenog prilikom sudara asteroida

# Unutrašnja građa asteroida



Kompaktni



Kompaktni  
frakturisani

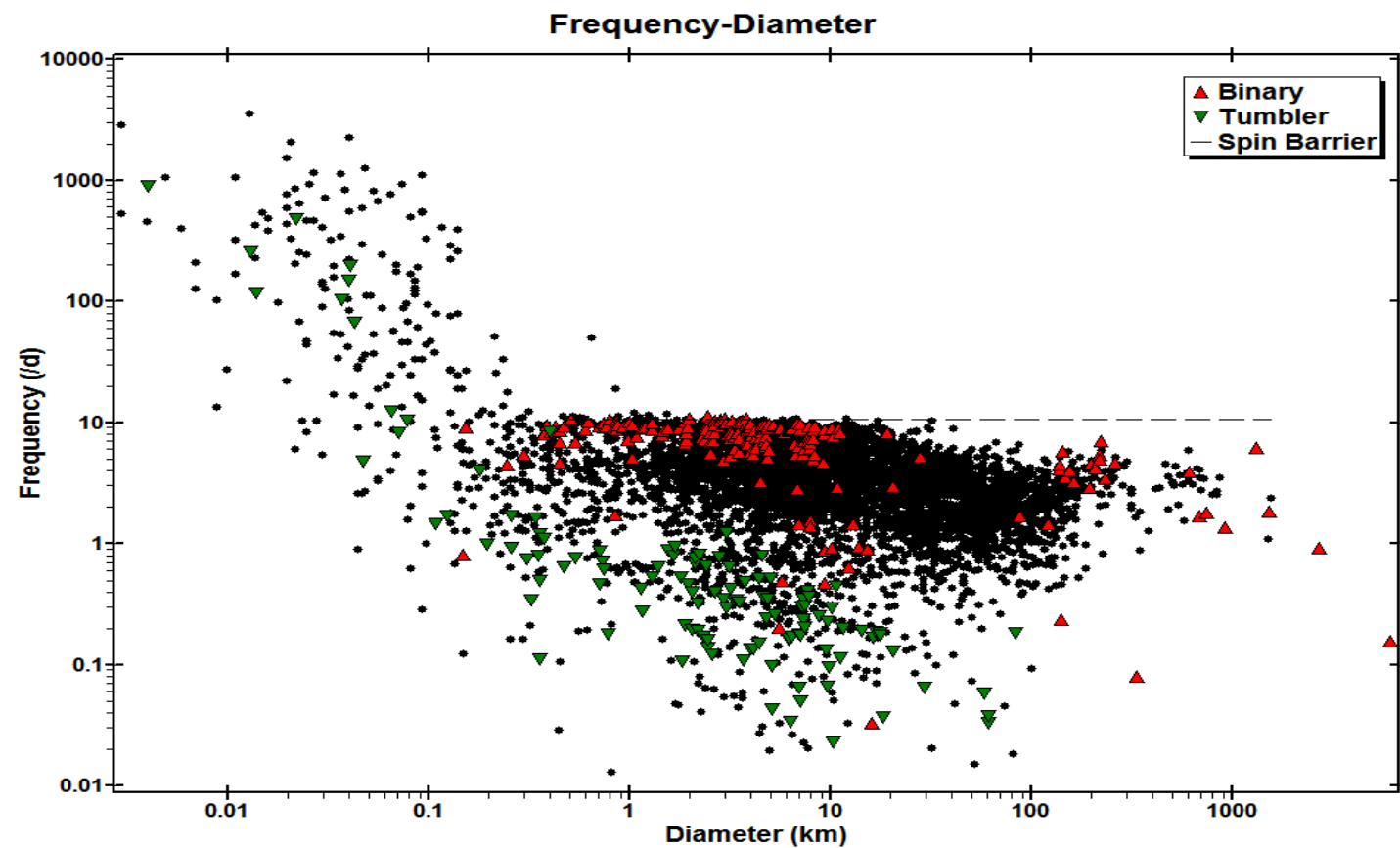


"Krš na gomili"



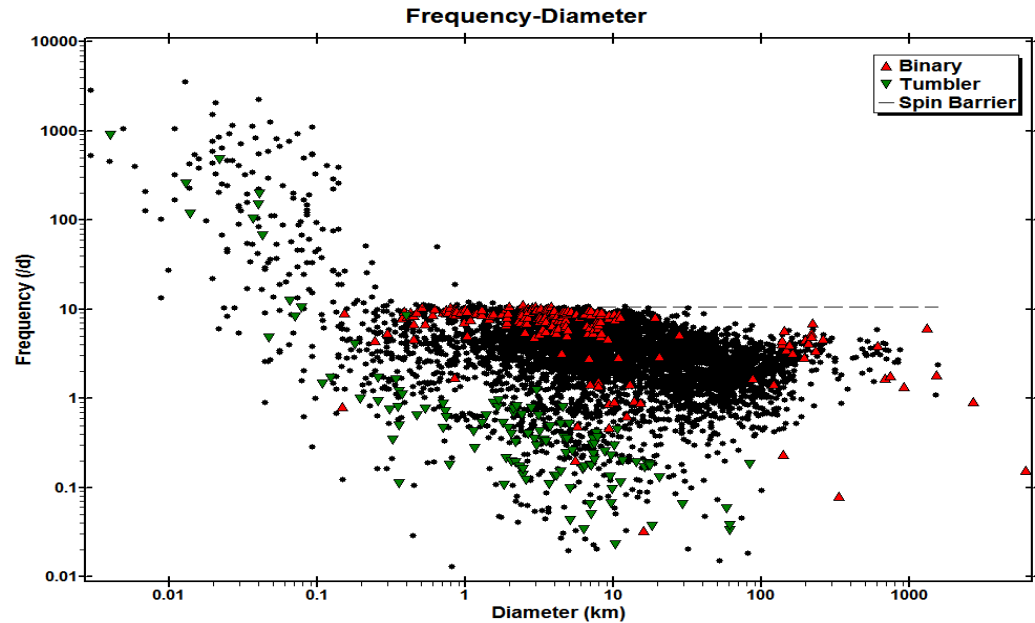
Konglomerati

# Periodi rotacije asteroida

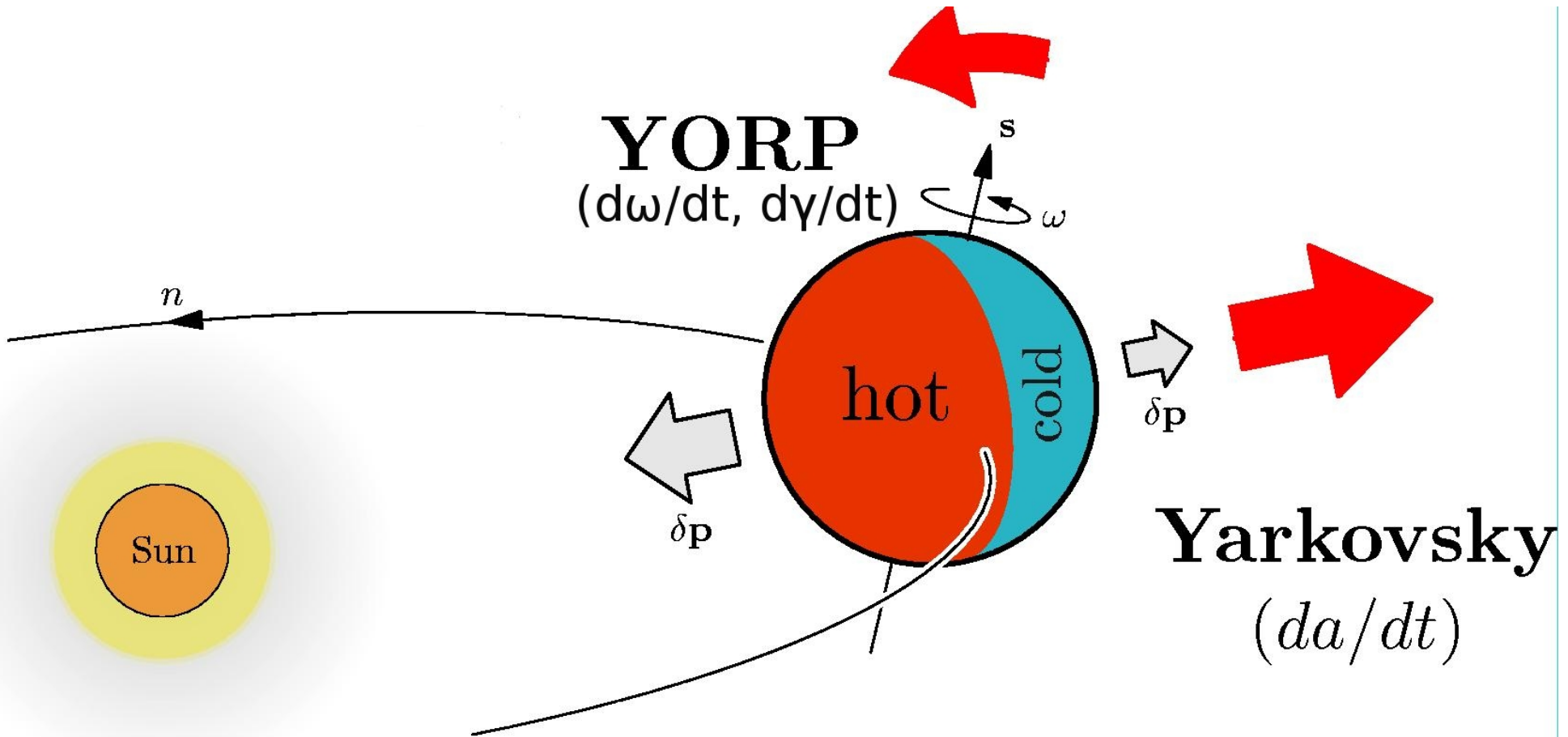


# Spin barijera

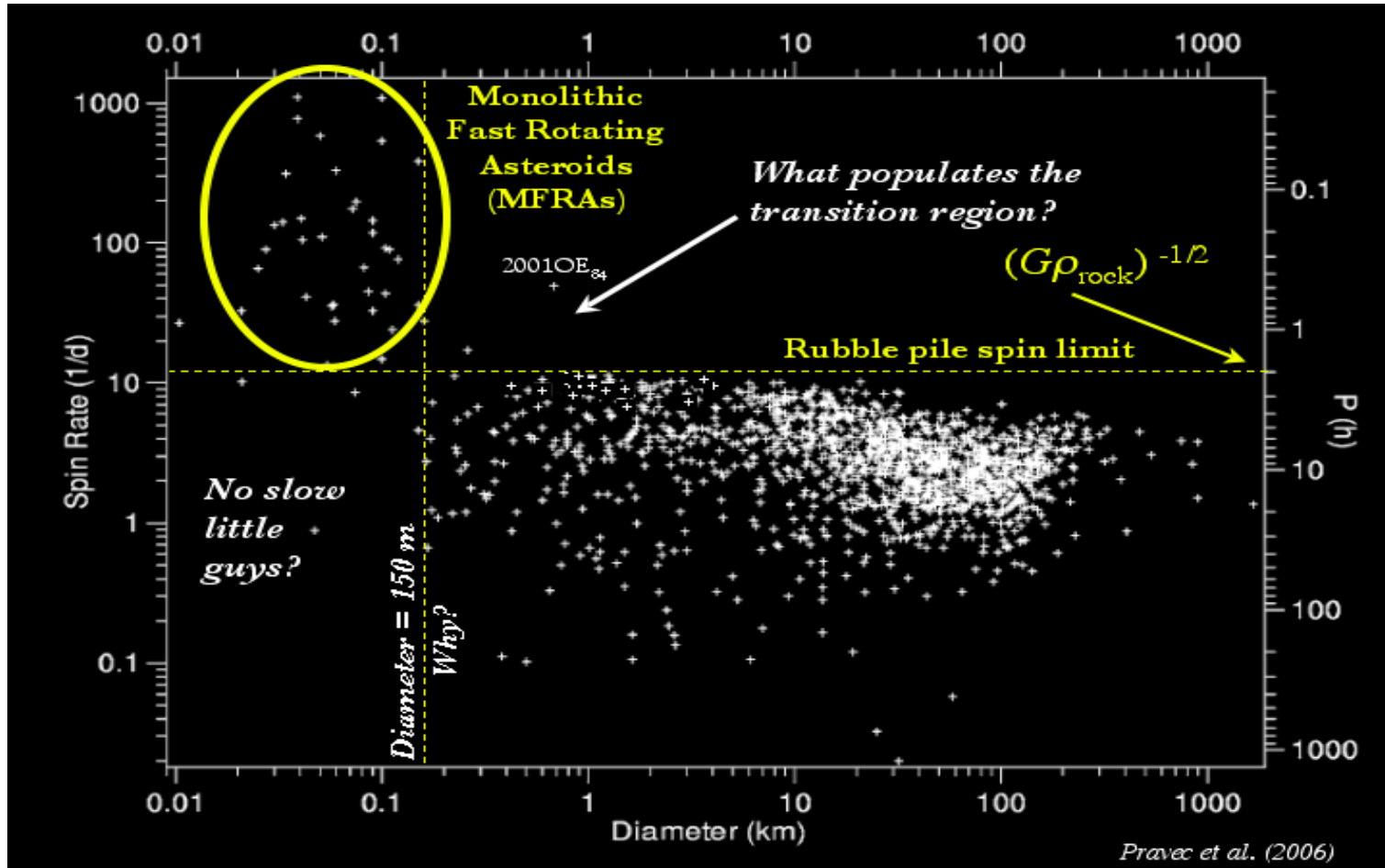
- Spin barijera: balans između sile gravitacije i centrifugalnog ubrzanja
- Zavisi i od drugih faktora, kao što je elongacija (izduženost) asteroida



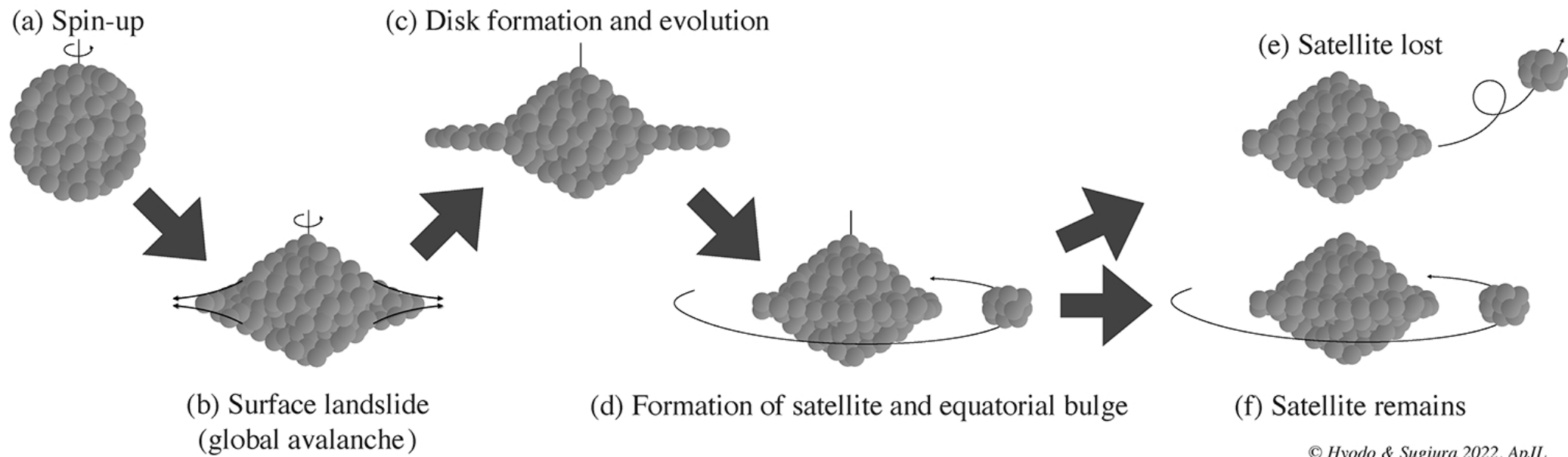
# YORP efekat



# Periodi rotacije asteroida



# Nastanak dvojnih asteroida rotacionom fisijom

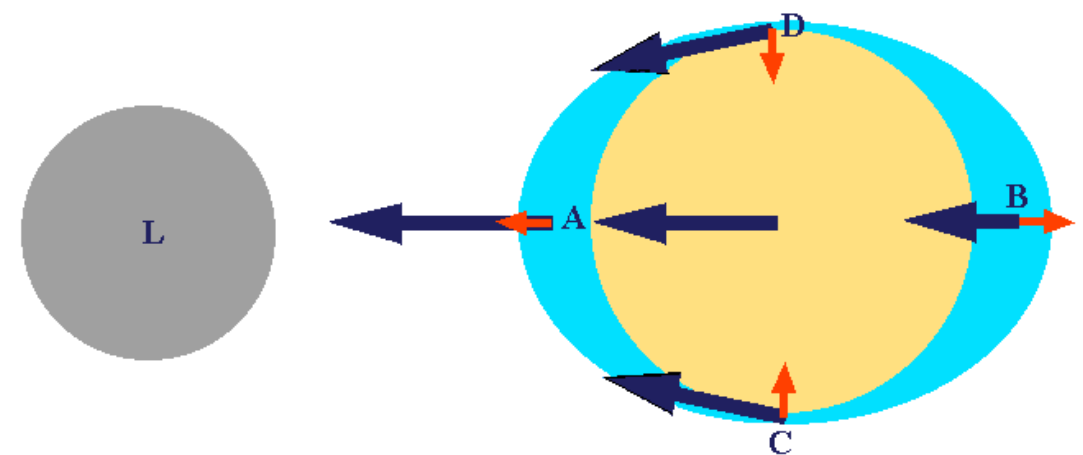


© Hyodo & Sugiura 2022, *ApJL*

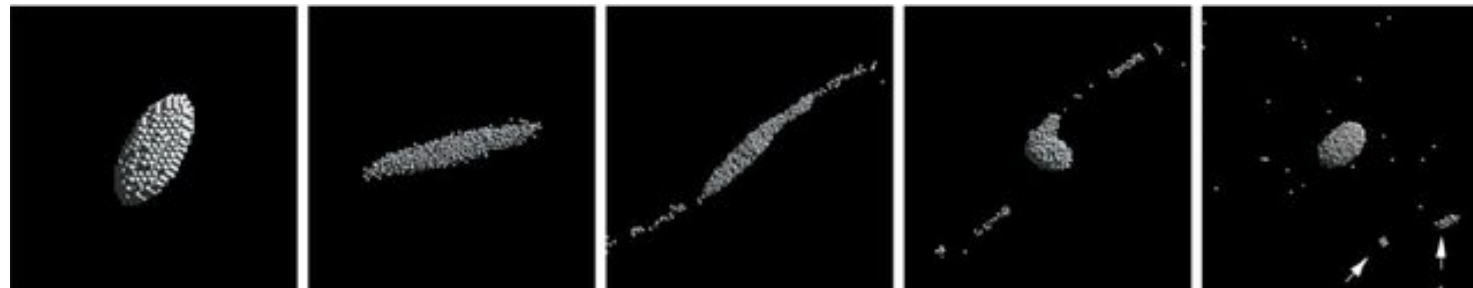
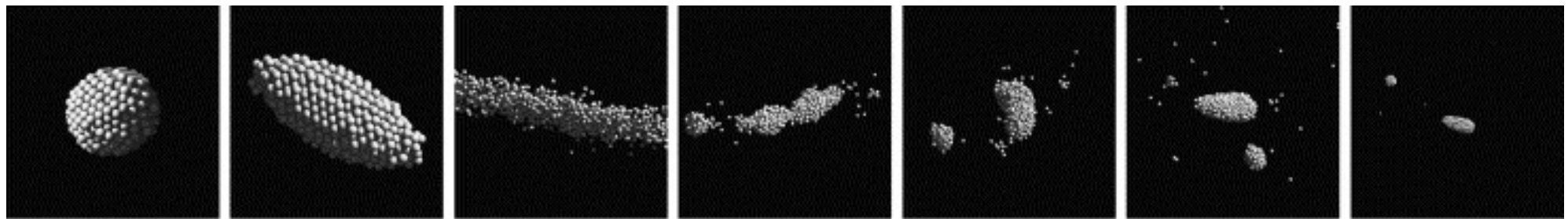
- <https://www.isas.jaxa.jp/home/research-portal/en/gateway/2022/1125/>
- [https://www.youtube.com/watch?v=Bj\\_TZYYSWKQ&t=63s](https://www.youtube.com/watch?v=Bj_TZYYSWKQ&t=63s)
- <https://www.youtube.com/watch?v=9xi7FN5ZEcA&t=354s>

# Raspad usled plimskih sila

- Plimske sile javljaju se kada su dva objekta dovoljno blizu jedan drugom da se njihovi gravitacioni uticaji ne mogu pomatrati kao tačkaste gravitacije, već se njihove dimenzije i oblici moraju uzeti u obzir
- Do pojave plimskih sila dolazi usled razlike u sili gravitacije u različitim tačkama na telu



# Raspad usled plimskikh sila



# Formiranje dvojnih asteroida nakon raspada asteroida usled sudara

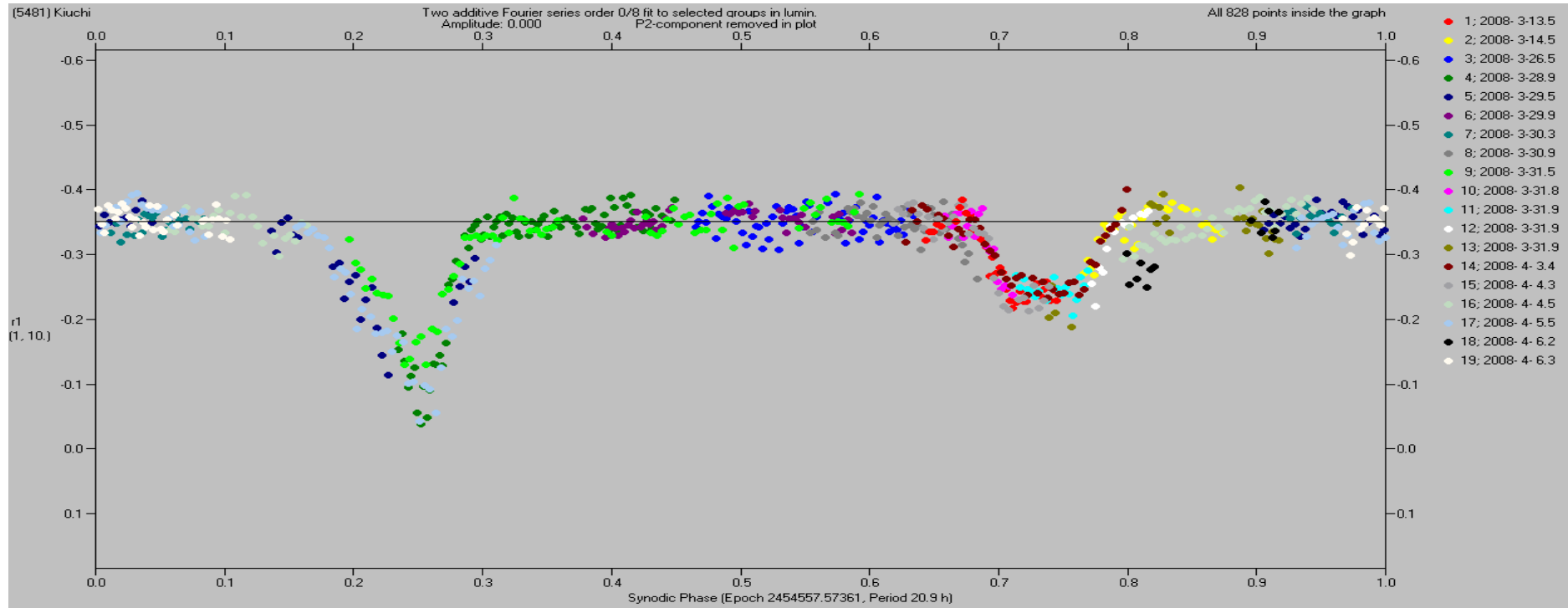
- Prilikom formiranja familija asteroida, generiše se veliki broj manjih fragmenata
- Neki od bliskih fragmenata mogu postati gravitaciono vezani, formirajući na taj način dvojni asteroid
- Ovaj mehanizam je uglavnom efikasan kod većih asteroida i od značaja je u Glavnom asteroidnom pojasu



# Detekcija dvojnih asteroida

- Na osnovu analize krivih sjaja (dvojni asteroidi generišu dodatne pojave u krivama sjaja usled međusobnog relativnog kretanja)
- Iz radarskih posmatranja (samo za objekte koji prolaze blizu Zemlje)

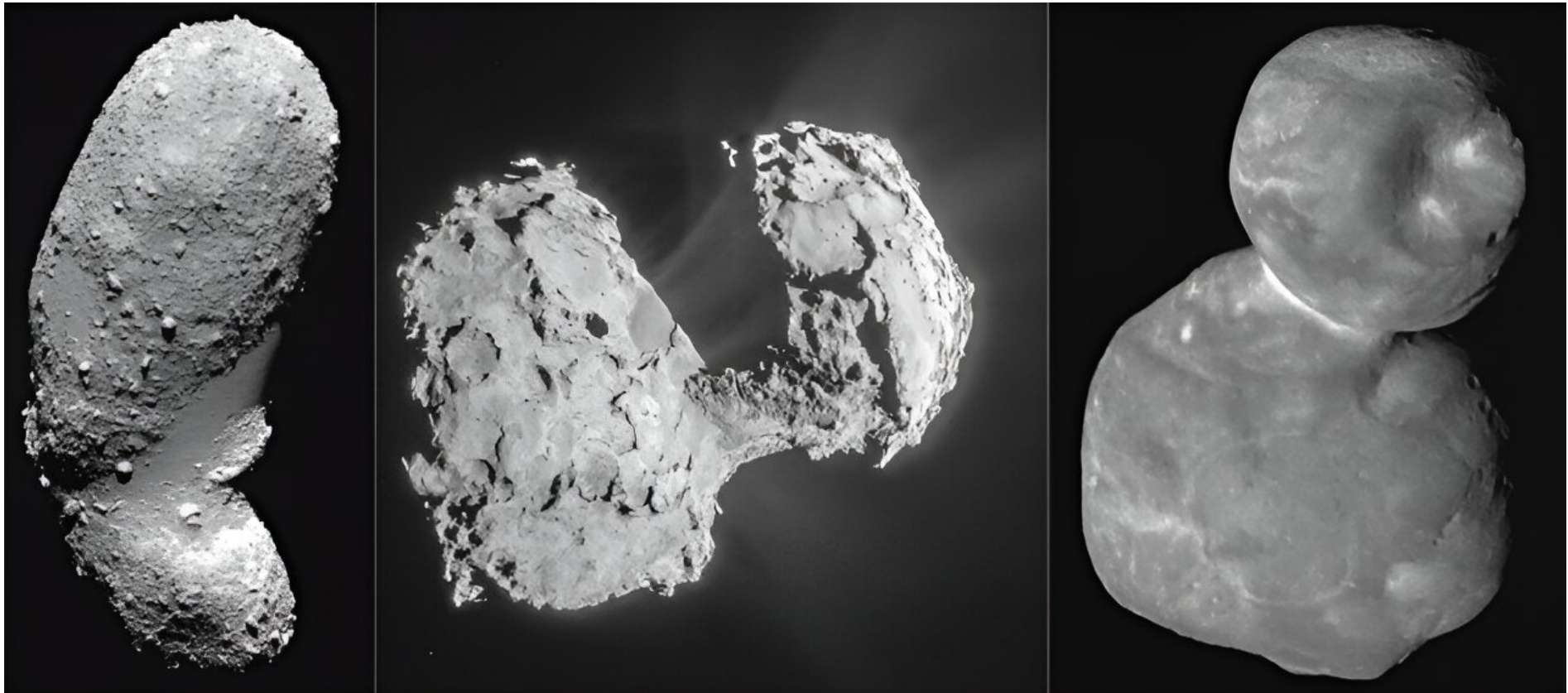
# Detekcija dvojnih asteroida iz krivih sjaja



# Detekcija dvojnih asteroida radarom

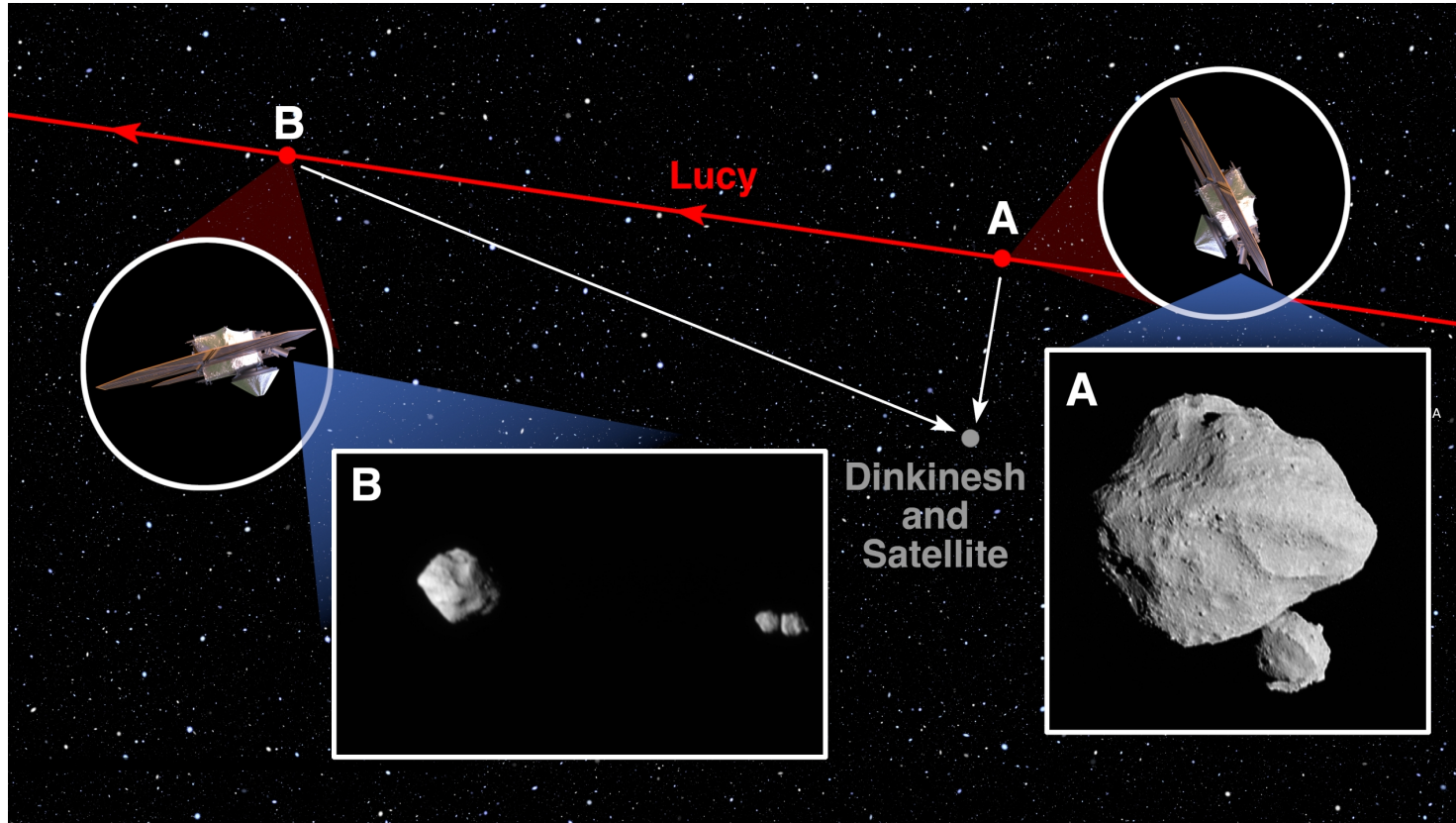


# Kontaktni dvojni sistemi



# Lucy misija

bliski prolaz pored asteroida Dinkinesh, 1. novembra 2023

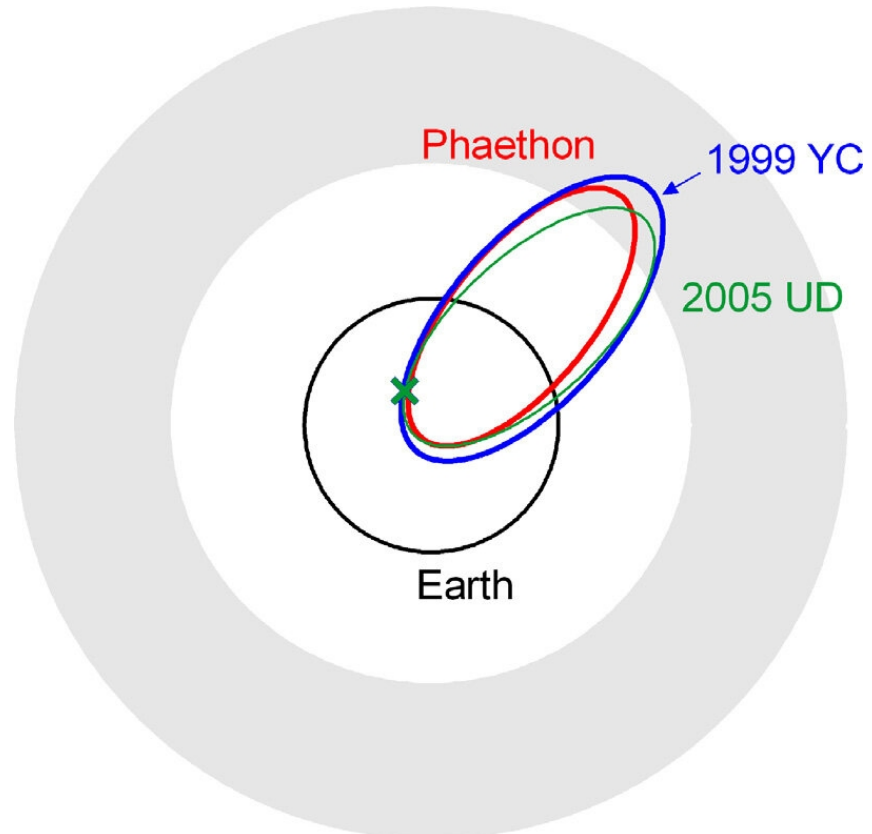


# Lucy misija - asteroid Dinkinesh



# Parovi asteroida

- Parovi asteroida su objekti na veoma sličnim orbitama, koji nisu gravitaciono vezani
- Najčešće nastaju raspadom dvojnih asteroida



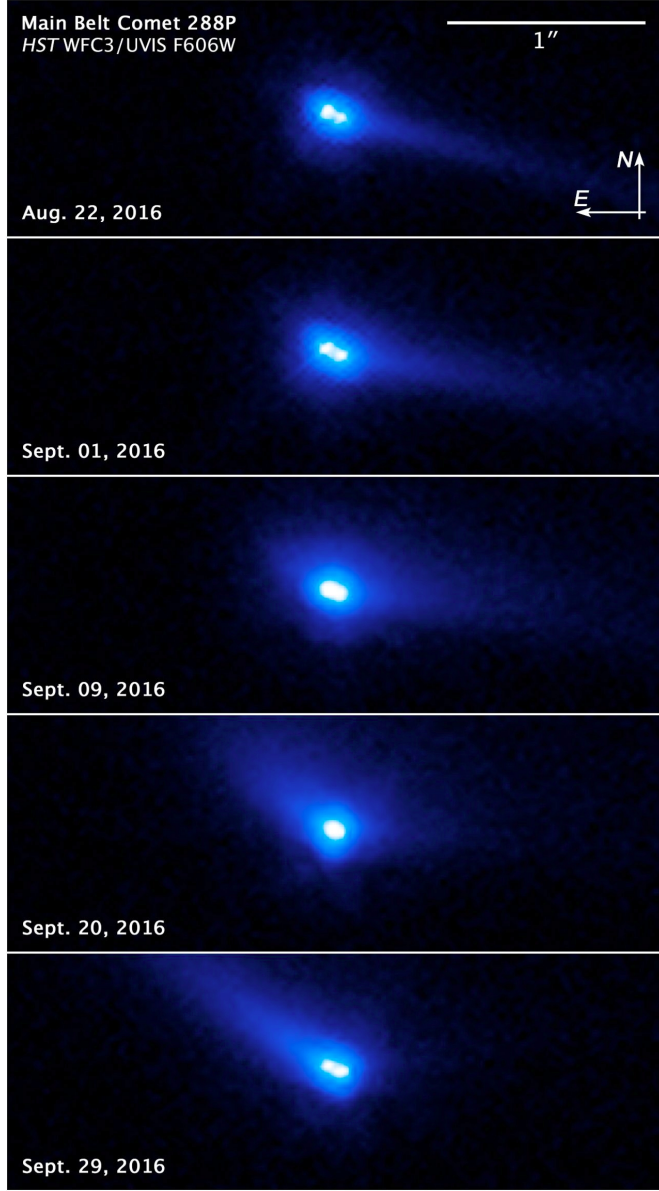
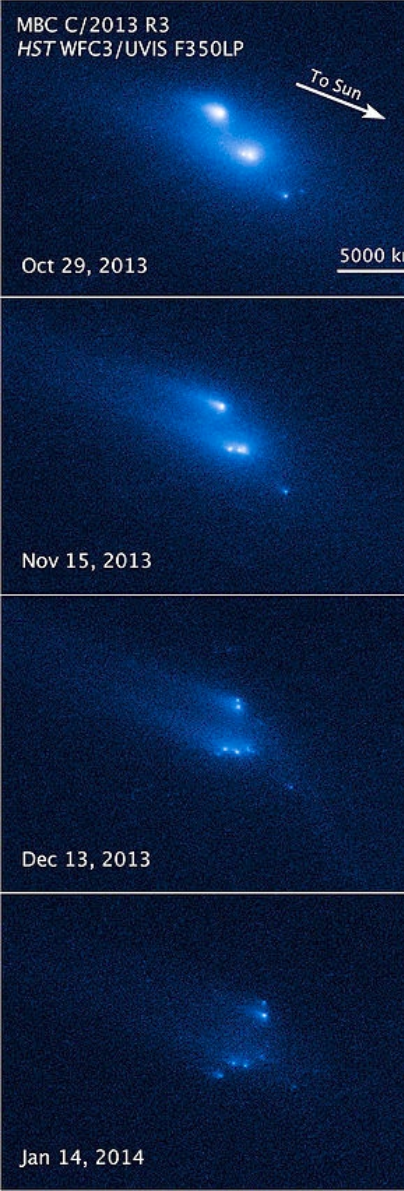


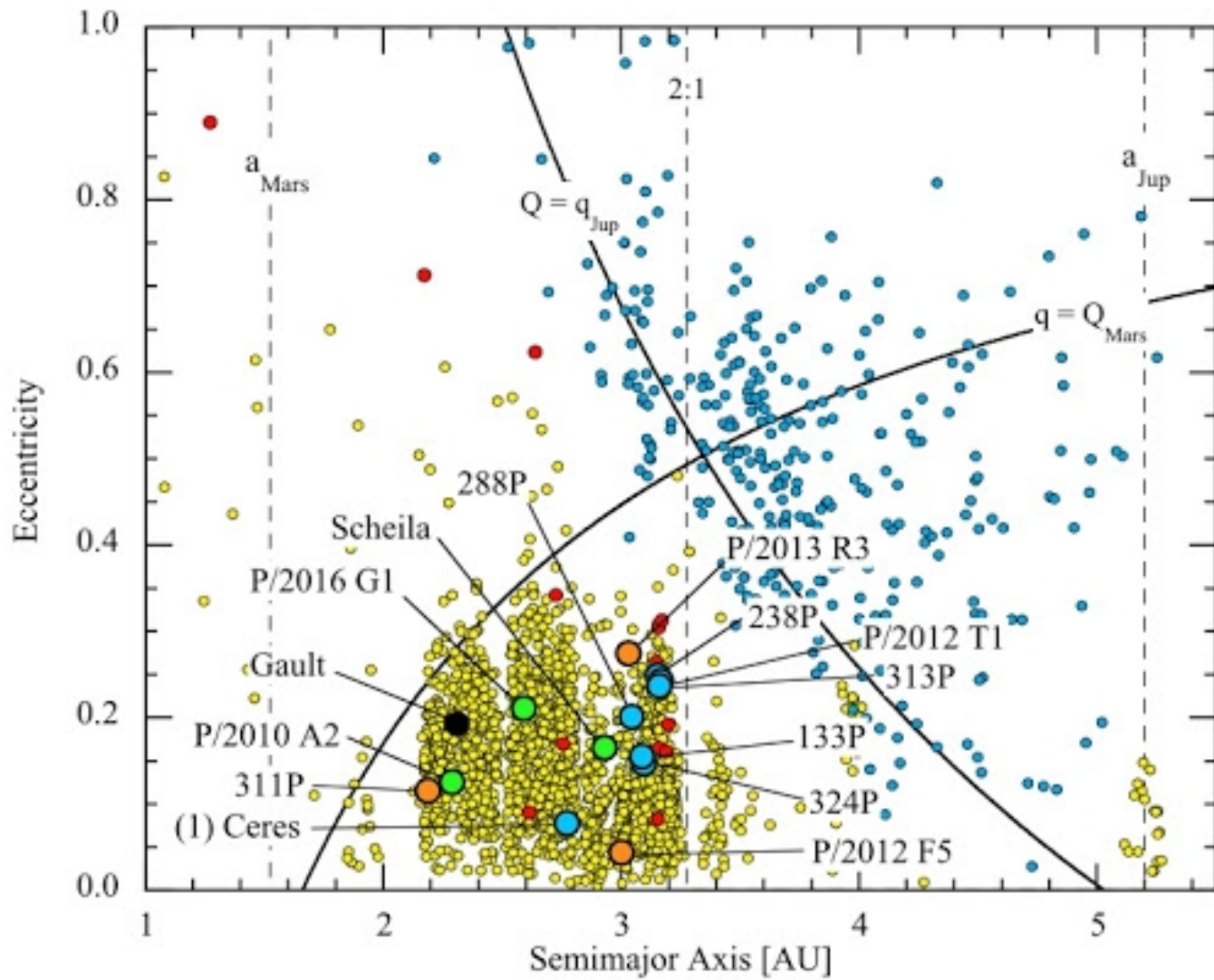
# Aktivni Asteroidi



# Aktivni asteroidi

- Aktivni asteroidi predstavljaju grupu objekata koji imaju orbitalne karakteristike asteroida, ali i fizičke karakteristike kometa.
- Nalik su kometama, jer izbacuju gas i prašinu, formirajući glavu i rep, pojave karakteristične za komete
- Trenutno ih je poznato nekoliko desetina





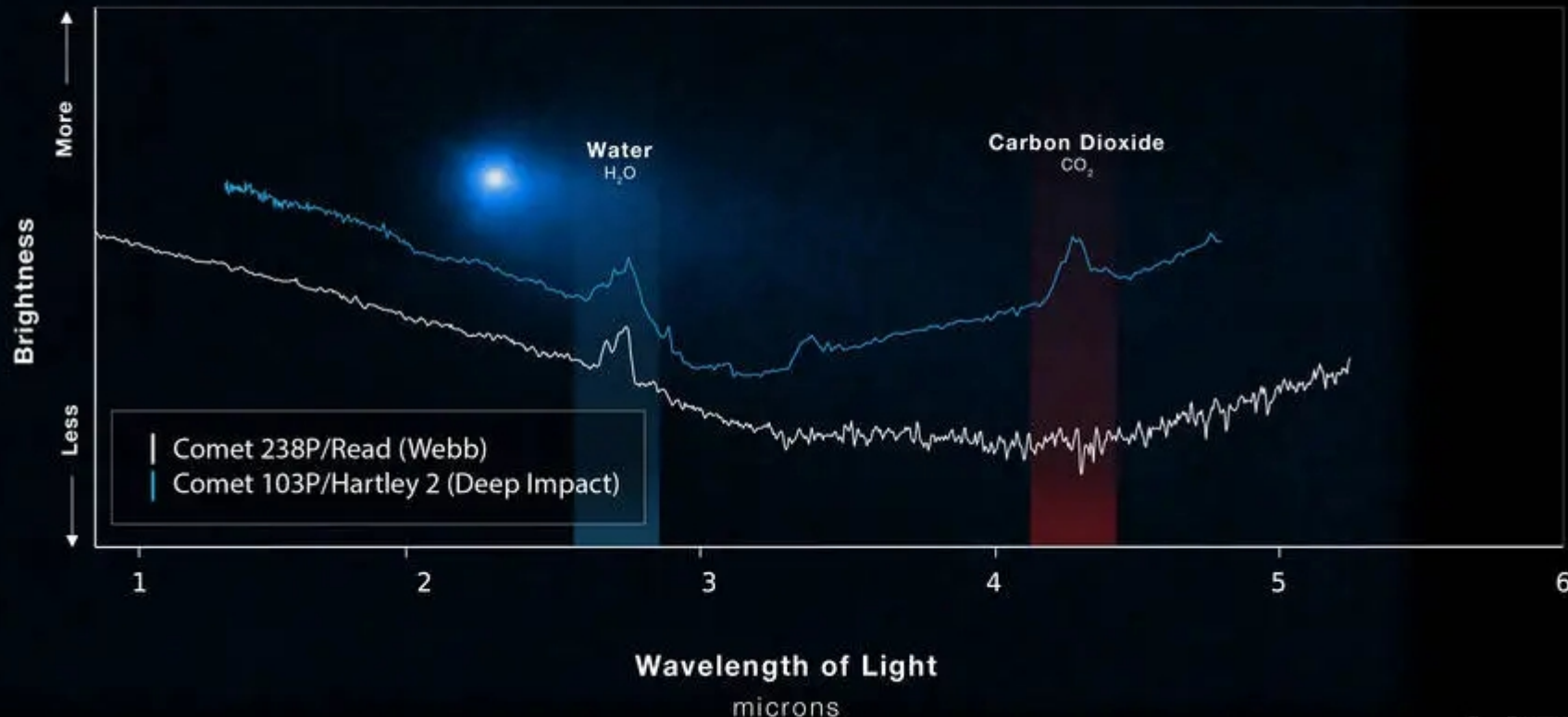
# Mogući uzroci aktivnosti

- Sublimacija leda
- Odbacivanje materijala usled brze rotacije
- Izbacivanje prašine usled sudara sa drugim malim asteroidima
- Izbacivanje optički aktivnih čestica pod uticajem elektrostatičkih mehanizama

MAIN BELT COMET 238P/READ

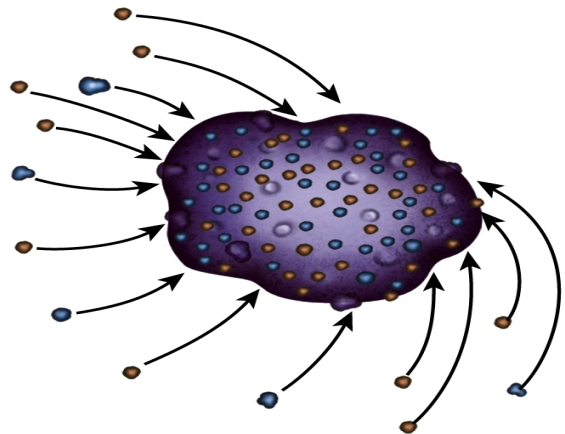
# EMISSION SPECTRUM

NIRSpec | IFU Medium-Resolution Spectroscopy

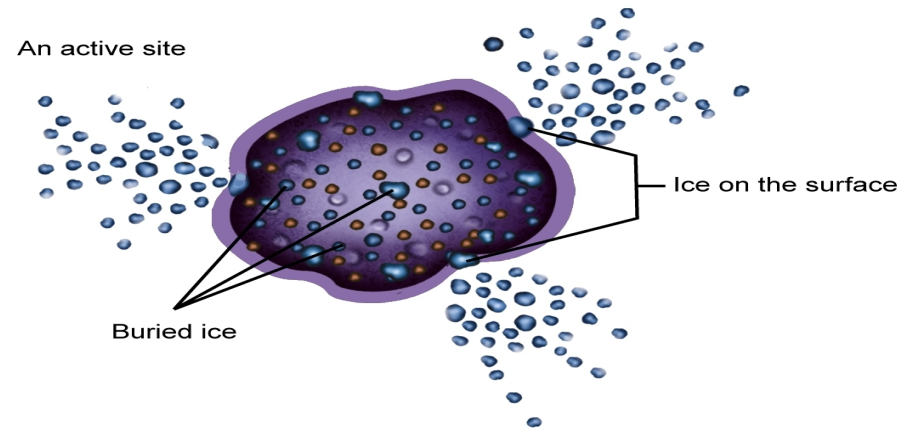


**WEBB**  
SPACE TELESCOPE

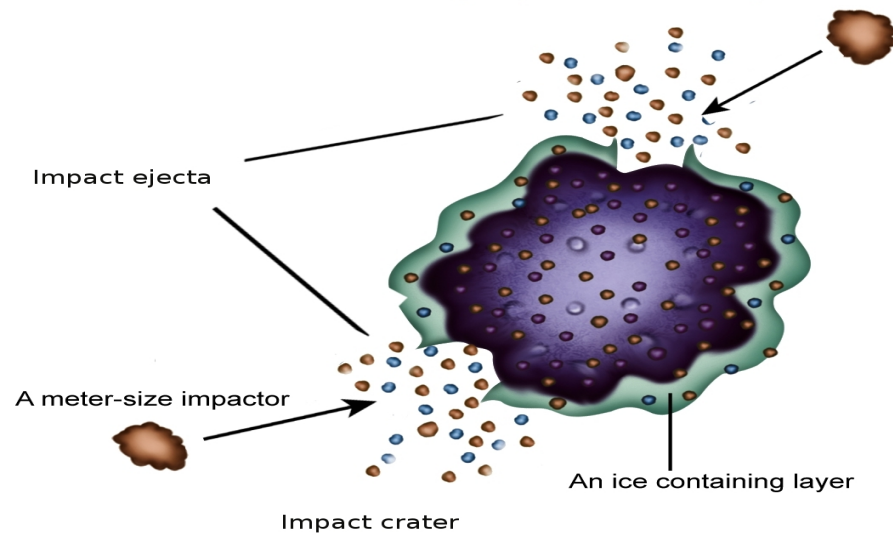
Phase 1: Accretion of an ice-bearing planetesimal



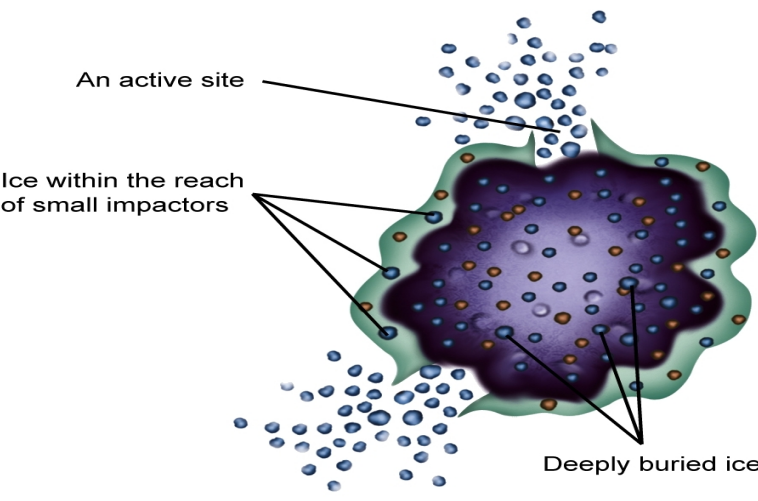
Phase 2: Sublimation of ice located at surface



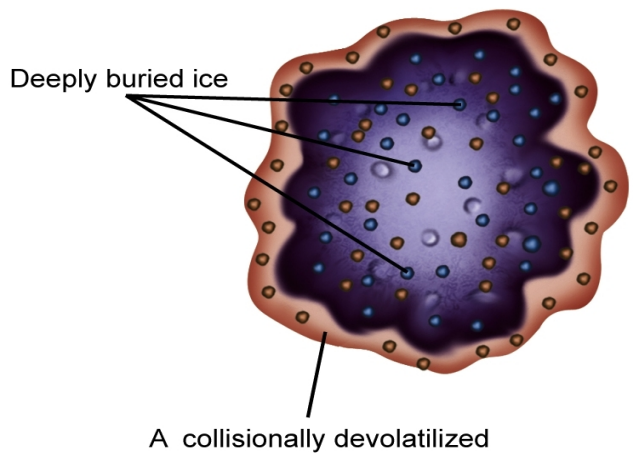
Phase 3: Subsurface ice, of an ice-bearing asteroid, has been excavated by impacts of small objects



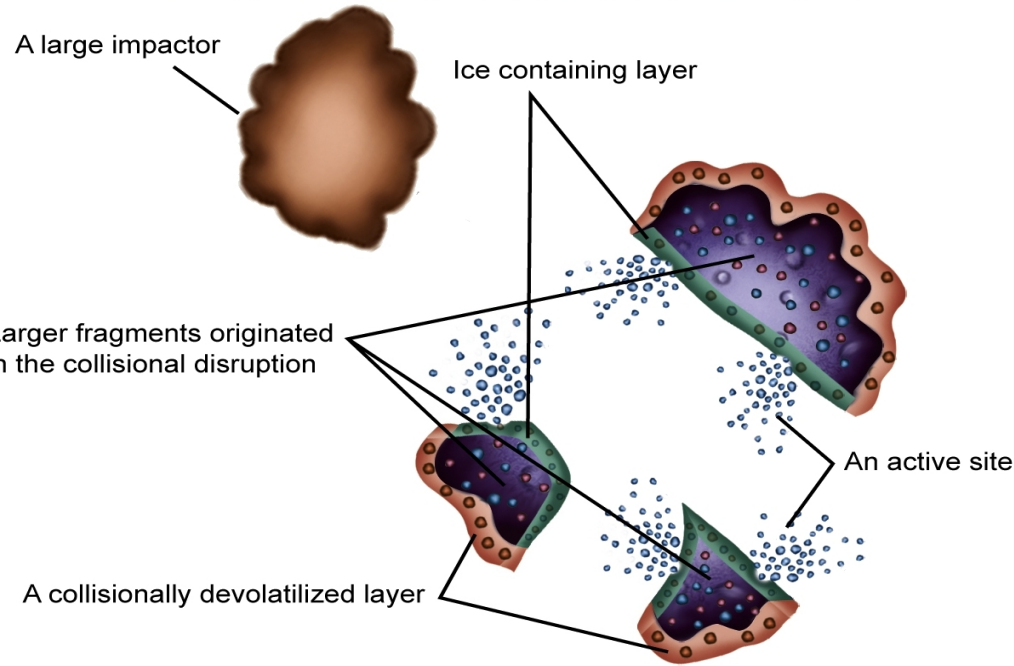
Phase 4: Sublimation of ice exposed on the surface



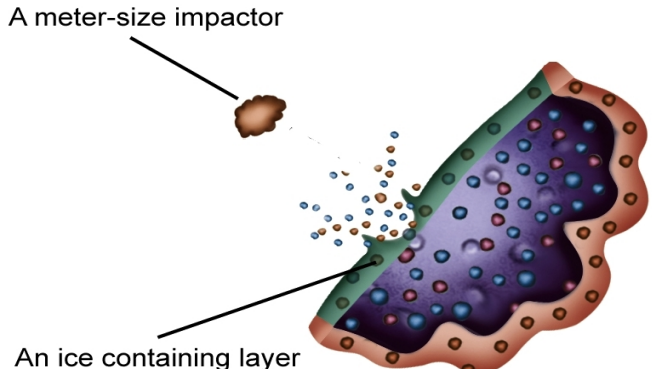
Phase 5: A near-surface layer is collisionally devolatilized



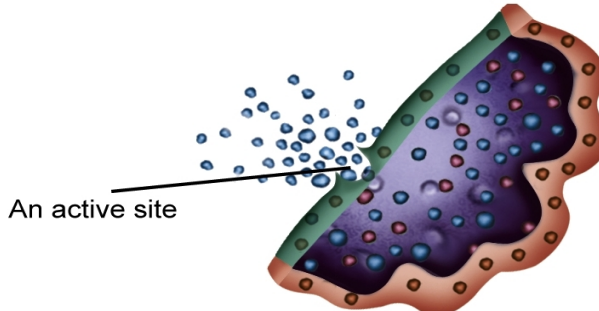
Phase 6: Collisional disruption of an ice-bearing asteroid



Phase 7: A fragment being impacted by small impactor

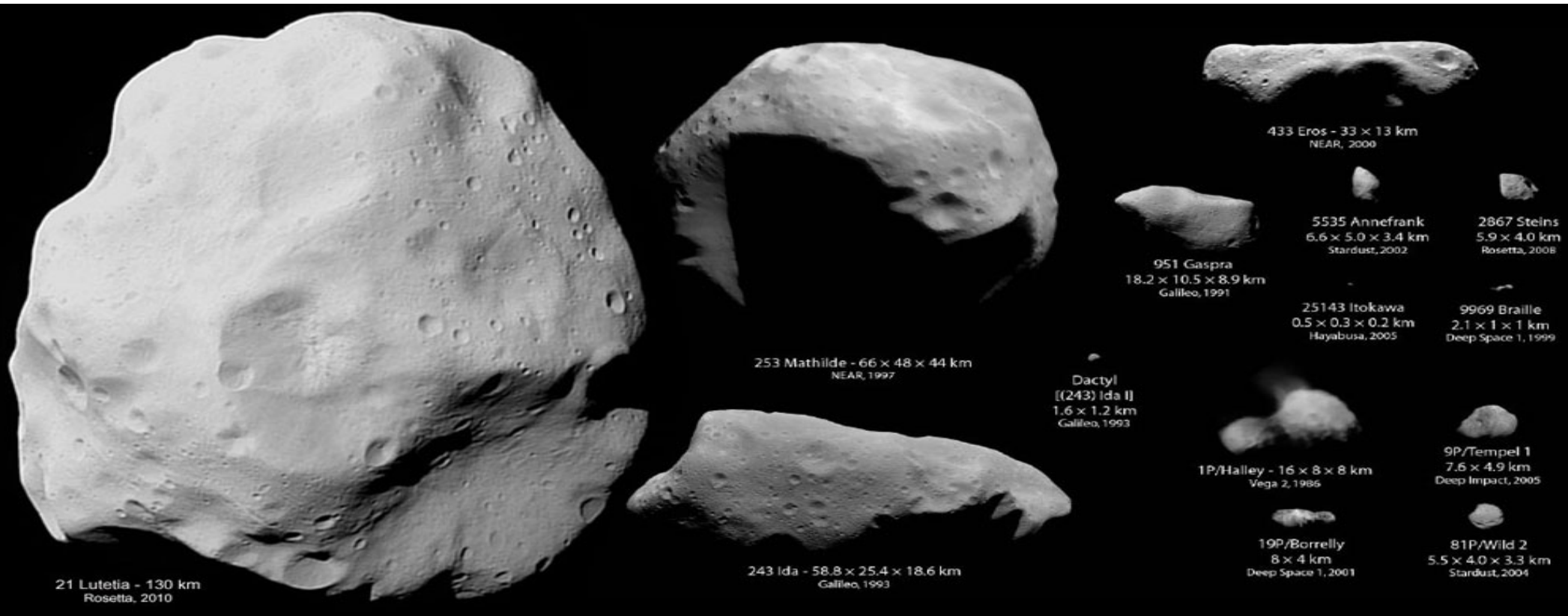


Phase 8: A recently observed main-belt comet





# Mase i veličine asteroida

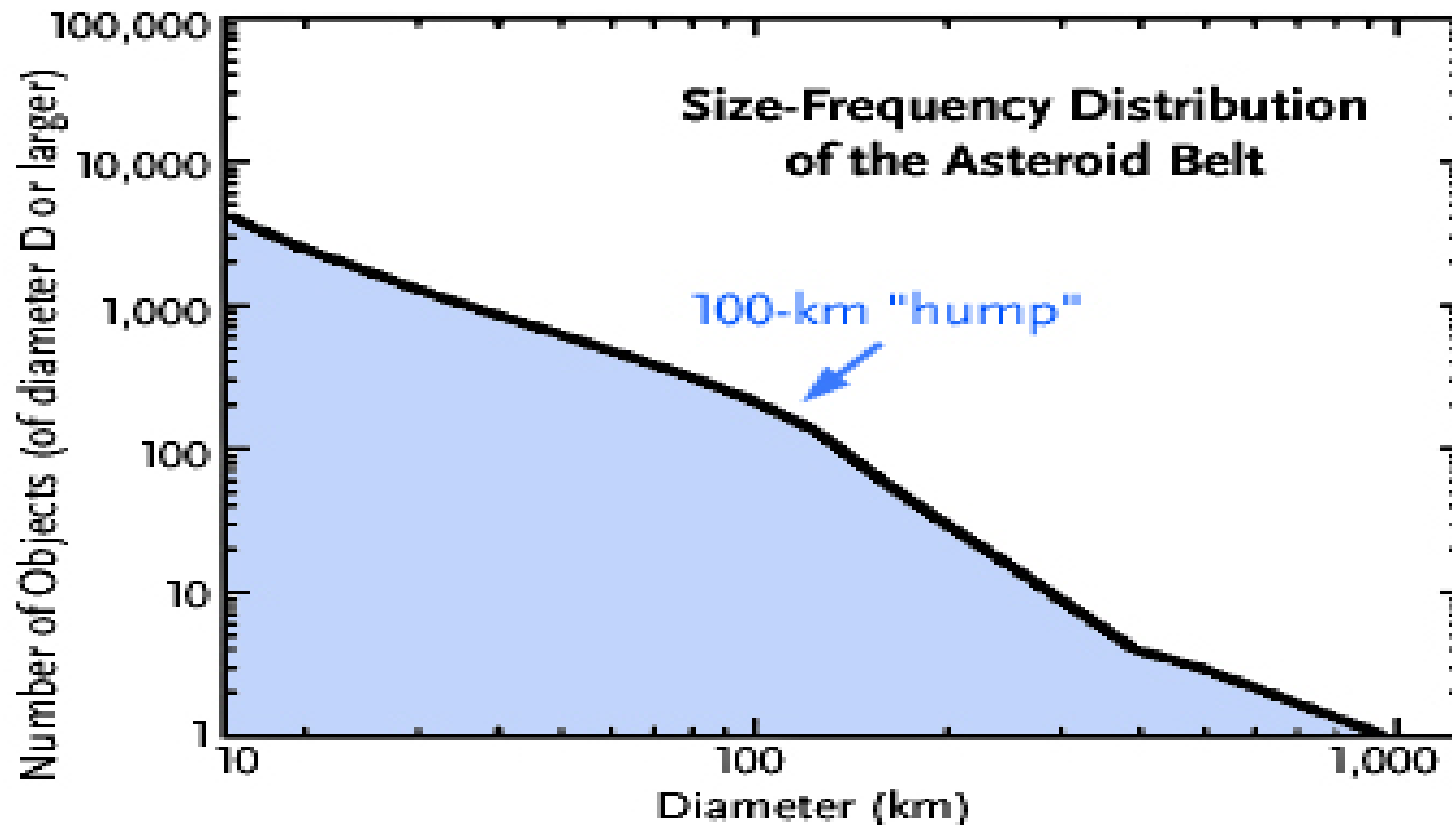


# Mase i veličine asteroida

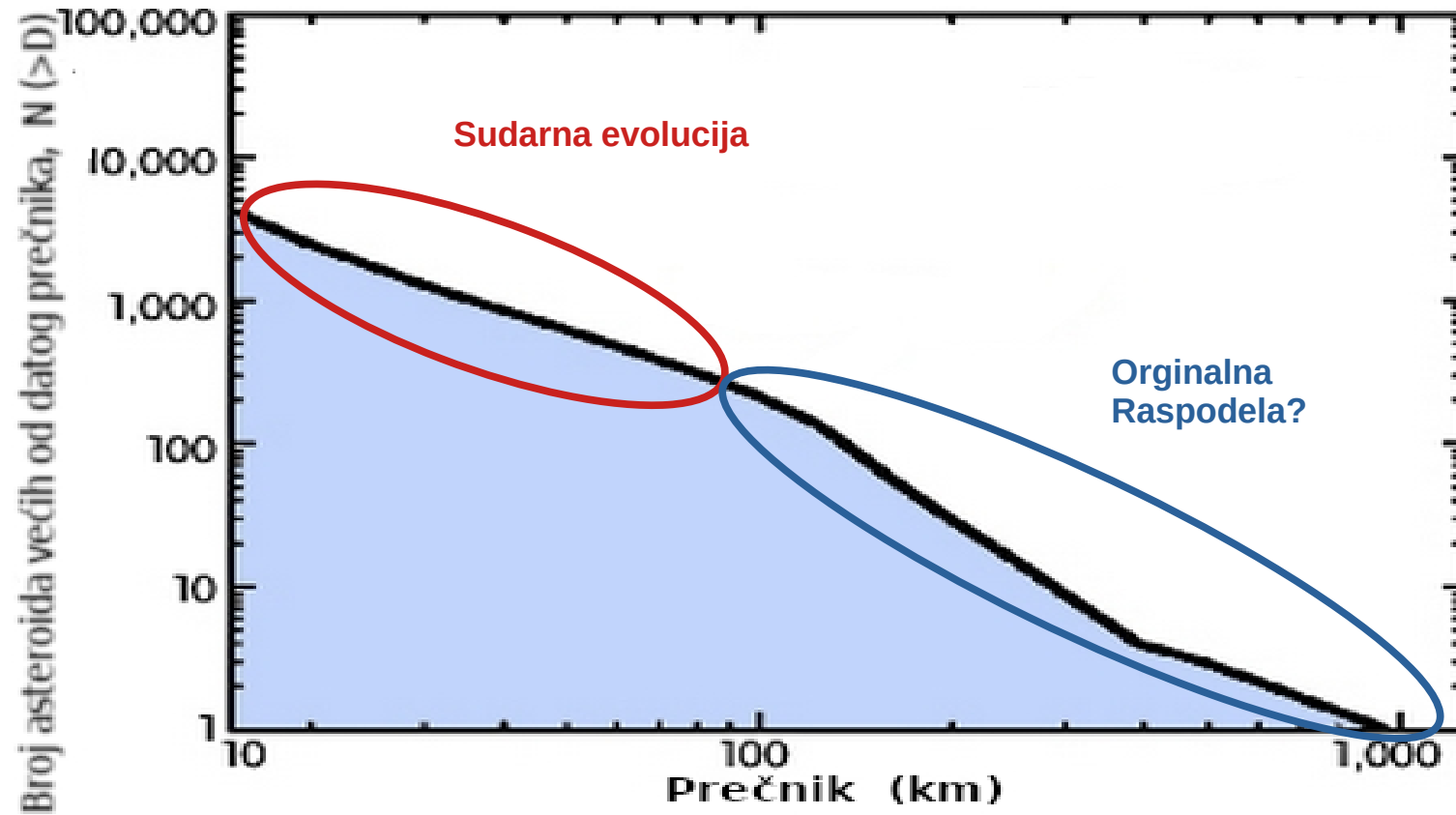
Tabela 1.1: Veličine i mase 20 većih asteroida u Glavnom asteroidnom prstenu

Asteroid	Prečnik [km]	Masa [ $M_{\odot}$ ]	Asteroid	Prečnik [km]	Masa [ $M_{\odot}$ ]
(1) Ceres	975	$4.75 \times 10^{-10}$	(13) Egeria	208	$8.00 \times 10^{-12}$
(2) Pallas	570	$1.05 \times 10^{-10}$	(14) Irene	167	$3.49 \times 10^{-12}$
(3) Juno	320	$1.44 \times 10^{-11}$	(15) Eunomia	357	$1.60 \times 10^{-11}$
(4) Vesta	578	$1.30 \times 10^{-10}$	(16) Psyche	240	$1.14 \times 10^{-11}$
(6) Hebe	205	$6.40 \times 10^{-12}$	(19) Fortuna	225	$4.18 \times 10^{-12}$
(7) Iris	240	$8.12 \times 10^{-12}$	(20) Massalia	160	$1.68 \times 10^{-12}$
(8) Flora	161	$4.36 \times 10^{-11}$	(24) Themis	198	$5.67 \times 10^{-12}$
(9) Metis	222	$5.70 \times 10^{-12}$	(31) Euphrosyne	256	$2.92 \times 10^{-11}$
(10) Hygiea	530	$4.35 \times 10^{-11}$	(52) Europa	362	$1.14 \times 10^{-11}$
(11) Parthenope	153	$3.09 \times 10^{-12}$	(511) Davida	357	$1.90 \times 10^{-11}$

# Raspodela asteroida po veličinama



# Raspodela asteroida po veličinama



# Mase asteroida

Mase su poznate tek za oko 60 asteroida.

Metode za određivanje masa asteroida:

- na osnovu poremećaja kretanja drugih asteroida za vreme međusobnog bliskog prilaza
- na osnovu III Keplerovog zakona kod dvojnih asteroida
- analizom različitih parametara za asteroide pored kojih je prošla (ili orbitirala neko vreme) neka svemirska letelica

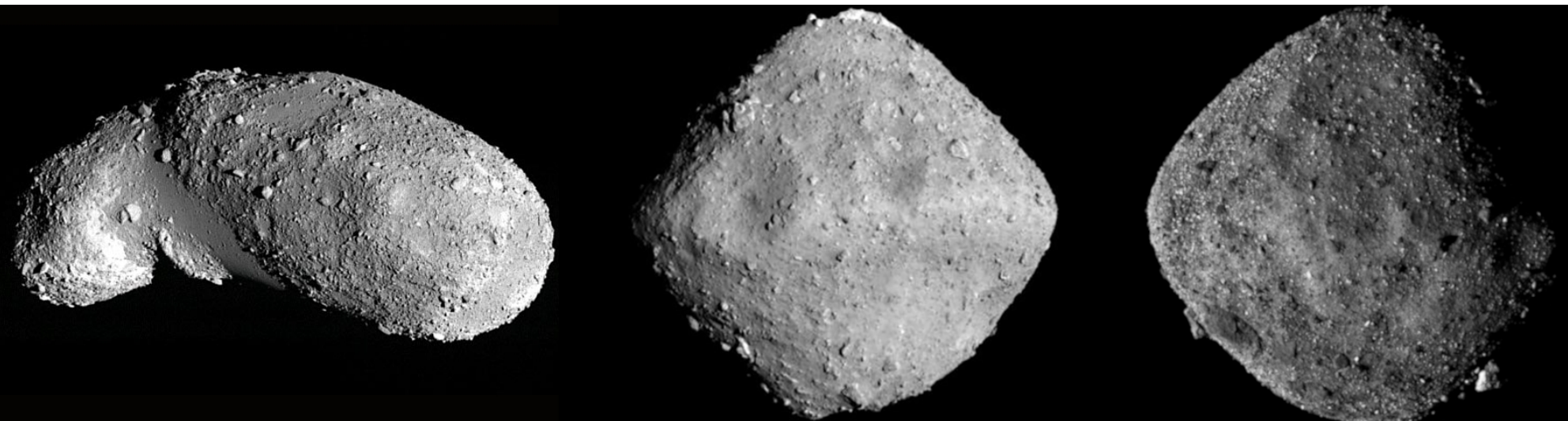
# Masa i veličina asteroida

Tabela 1.1: Veličine i mase 20 većih asteroida u Glavnom asteroidnom prstenu

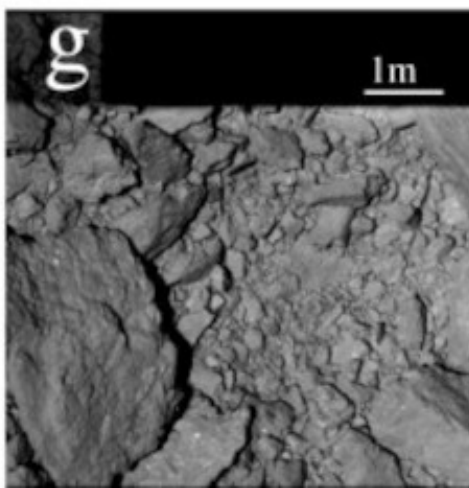
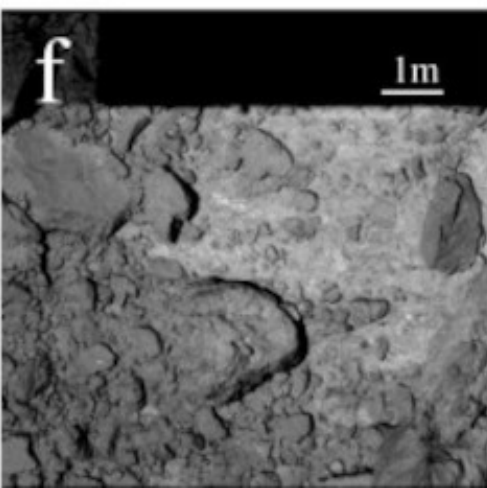
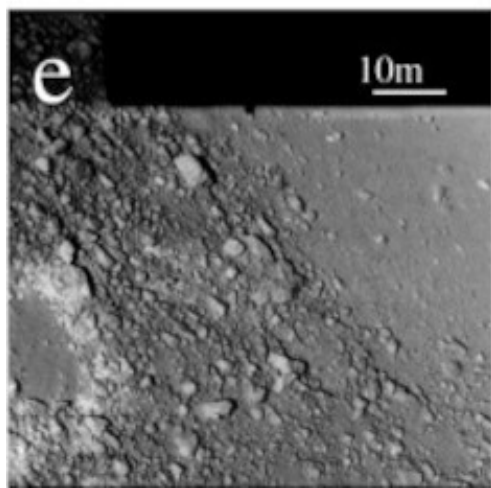
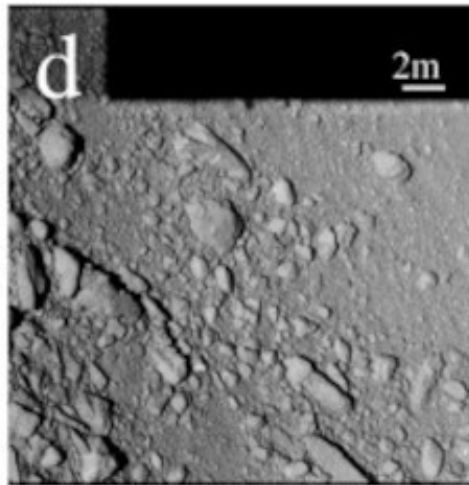
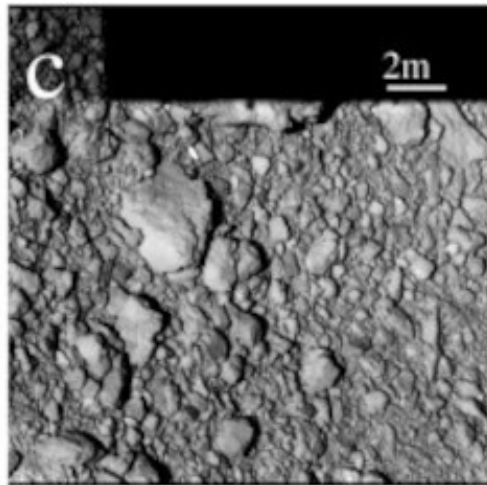
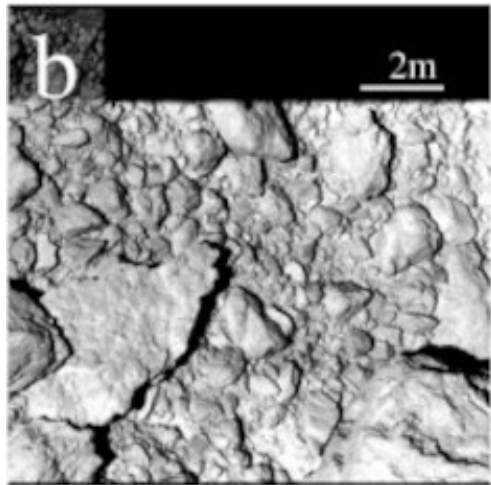
Asteroid	Prečnik [km]	Masa [ $M_{\odot}$ ]	Asteroid	Prečnik [km]	Masa [ $M_{\odot}$ ]
(1) Ceres	975	$4.75 \times 10^{-10}$	(13) Egeria	208	$8.00 \times 10^{-12}$
(2) Pallas	570	$1.05 \times 10^{-10}$	(14) Irene	167	$3.49 \times 10^{-12}$
(3) Juno	320	$1.44 \times 10^{-11}$	(15) Eunomia	357	$1.60 \times 10^{-11}$
(4) Vesta	578	$1.30 \times 10^{-10}$	(16) Psyche	240	$1.14 \times 10^{-11}$
(6) Hebe	205	$6.40 \times 10^{-12}$	(19) Fortuna	225	$4.18 \times 10^{-12}$
(7) Iris	240	$8.12 \times 10^{-12}$	(20) Massalia	160	$1.68 \times 10^{-12}$
(8) Flora	161	$4.36 \times 10^{-11}$	(24) Themis	198	$5.67 \times 10^{-12}$
(9) Metis	222	$5.70 \times 10^{-12}$	(31) Euphrosyne	256	$2.92 \times 10^{-11}$
(10) Hygiea	530	$4.35 \times 10^{-11}$	(52) Europa	362	$1.14 \times 10^{-11}$
(11) Parthenope	153	$3.09 \times 10^{-12}$	(511) Davida	357	$1.90 \times 10^{-11}$



# Površine asteroida

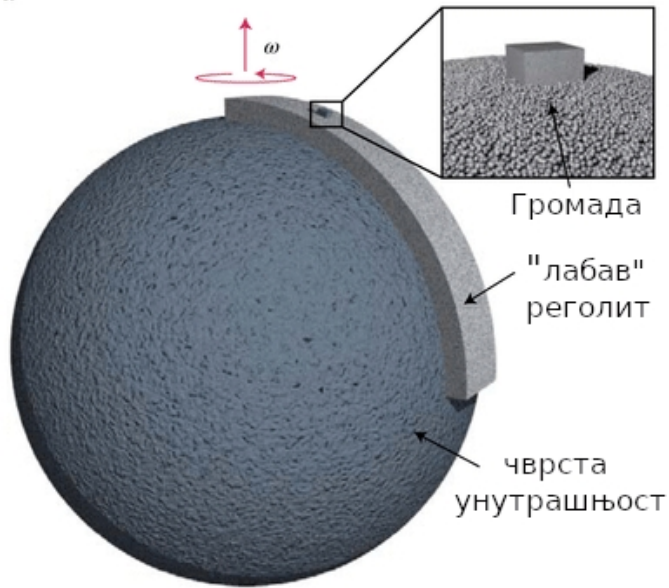


# Površine asteroida

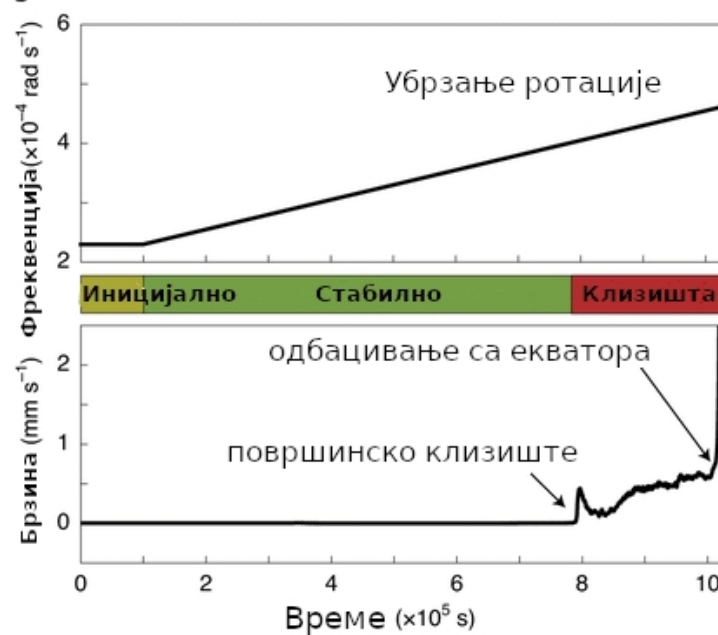


# Површине астероида

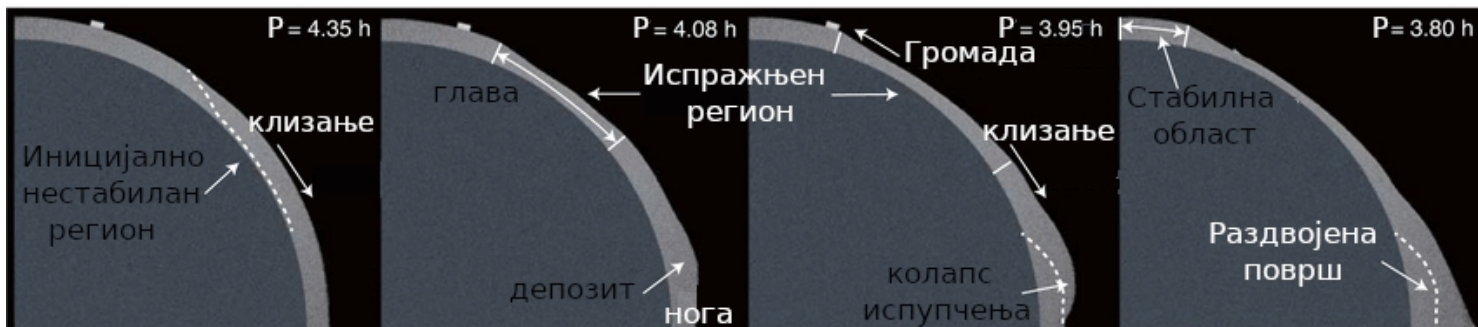
a



b



c



# Nastanak regolita

